

中国科技论文统计源核心期刊
中国科学引文数据库核心期刊
中文核心期刊要目总览核心期刊

IS Q K1818669

CN 42-1187/R

JOURNAL OF CLINICAL RADIOLOGY

临床放射学杂志

LINCHUANG FANGSHE XUE ZAZHI



ISSN 1001-9324



9 771001 932188

万方数据

2018 • 4

第37卷(总第333期)

临床放射学杂志

LINCHUANG FANGSHEXUE ZAZHI

月刊 1982 年 3 月创刊

第 37 卷 第 4 期

(总第 333 期)

2018 年 4 月 20 日出版

主办

黄石市医学科技情报所
435000 湖北省黄石市杭州路 23-22 号

协办

首都医科大学附属北京友谊医院
北京大学第三医院

编辑

临床放射学杂志编辑委员会

出版

临床放射学杂志社
435000 湖北省黄石市杭州路 23-22 号
电话: (0714)6222015
传真: (0714)6260655
E-mail: lcfsszzjbjb@163.com
网址: http://www.lcfsszz.com

名誉主编 冯敢生

主编 孔祥泉

常务副主编 韩萍 袁德启

社长 徐新前

总编辑 袁德启

头颈部放射学栏目主编 王振常

骨骼肌肉放射学栏目主编 袁慧书

技术探索栏目主编 杨正汉

排版

临床放射学杂志社编辑部

印刷

武汉科源印刷设计有限公司

发行

国内: 湖北省黄石市邮政局
国外: 中国国际图书贸易总公司
(北京 399 信箱, 100044)
代号: M6815

订购

全国各地邮政局
邮发代号: 38-57

邮购

临床放射学杂志社发行部
435000 湖北省黄石市杭州路 23-22 号
电话: (0714)6222015

定价

每期 15 元, 全年 180 元

中国标准连续出版物号

ISSN 1001-9324
CN 42-1187/R

广告经营许可证号

4202025000021

2018 年版权归黄石市
医学科技情报所所有

本刊如有印装质量问题, 可向临床
放射学杂志社发行部调换

目 次

读片窗

- 颅内占位病变——请分析病变性质
..... 许珂, 张勇, 程敬亮等(555)

影像诊断

中枢神经系统

- 原发性闭角型青光眼患者脑网络小世界属性的 fMRI 研究 ...
..... 刘丹, 周福庆, 游涛等(556)
多参数磁共振成像在脑胶质母细胞瘤与单发脑转移性肿瘤鉴别
诊断中的应用价值 杨又源, 童海鹏, 曹之乐等(562)
乳头状胶质神经元肿瘤的 CT、MRI 表现及病理分析
..... 朱建彬, 于昊, 王显龙等(568)
透明细胞型脑膜瘤 MR 影像特征分析
..... 赵海清, 高培毅(573)
脑转移瘤囊变区钆对比剂陷入的探讨
..... 曲珊珊, 高培培, 徐芹艳等(578)
直方图分析方法在鉴别髓母细胞瘤和室管膜瘤中的应用
..... 韩秋月, 苏春秋, 冯飘飘等(582)
罕发椎管内毛细血管瘤的 MRI 表现
..... 刘亚南, 程敬亮, 薛康康(587)

头颈部放射学

- 双源 CT 平扫碘值联合 TSH 诊断良恶性甲状腺结节的价值 ...
..... 金弋人, 韩丹, 赵雯等(591)

乳腺成像

- 乳腺 BI-RADS 分类在乳腺立体穿刺定位术的应用价值
..... 张曦, 黄伍奎, 赵彦博等(596)
3.0 T MRI 扩散加权成像表观扩散系数直方图与乳腺浸润性
导管癌预后因素的相关性研究
..... 刘鸿利, 位寒, 娄鉴娟等(600)

胸部放射学

- 原发性肺黏液腺癌 CT 表现及病理基础
..... 王铮, 苏丹柯, 赖少侣等(608)
¹⁸F-FDG PET/CT 全身肿瘤代谢容积评价非小细胞肺癌患者
预后的应用价值研究 蔺莉莉, 翟亚楠, 张皓等(614)
螺旋 CT 多平面重建技术对肺小结节术前定位的指导作用 ...
..... 方良毅, 钟文昭, 黄敏敏等(619)
CT 在原发性肺淋巴上皮瘤样癌诊断及疗效评估中的价值
..... 曾卫珊, 胡元明, 梁翠珊(623)

腹部放射学

- MR 扩散加权成像单指数模型及体素内不相干运动模型参数
直方图对移行区前列腺癌的诊断价值
..... 王希明, 包婕, 朱默等(627)

| | |
|---------------------------------------------------|---------------------|
| 肾脏缺氧分数评价慢性肾脏疾病的应用价值 | 陈 赞, 陈 杰, 蒋振兴等(633) |
| 睾丸肿瘤 MRI 表现 | 王岸飞, 胡 瑛, 王晓燕等(637) |
| 产前 MRI 检查在胎盘植入中的诊断价值 | 金 晶, 邹立巍, 赵 红等(641) |
| 多期相动脉自旋标记序列在健康供肾者及肾肿瘤患者的肾灌注及肾功能相关性评价中的应用 | 郭文彬, 史 浩, 郑应心等(645) |
| Gd-EOB-DTPA 增强 T ₁ mapping 成像对肝功能的评估价值 | 张学琴, 陆 健, 张 涛等(652) |
| 男性胰腺实性假乳头状瘤的 MRI 表现 | 张永生, 叶裕丰, 唐堪华(656) |
| 能谱 CT 最佳单能量成像结合低碘含量对比剂在肝细胞癌诊断中的初步应用 | 郑应心, 李 伟, 史 浩等(660) |

骨骼肌肉放射学

| | |
|-----------------------------------|---------------------|
| 磁共振动态增强及扩散加权成像对骨肉瘤恶性程度评判的价值 | 李 莹, 任翠萍, 程敬亮等(666) |
| 椎管内硬膜外血管脂肪瘤 CT、MRI 表现与病理对照 | 汪贯习, 叶葆青, 杨志涛等(670) |
| CT 引导下穿刺活检对脊柱良恶性病变诊断价值的 Meta 分析 | 王 朗, 刘 川, 蒋小凤等(674) |
| 小儿放射学 | |
| 多期动脉自旋标记磁共振灌注成像在早产儿脑血流定量分析中的应用 | 王 宏, 许建铭, 秦明明等(678) |
| MRI 远端结肠造影检查对先天性肛门直肠畸形造瘘术后瘘管的诊断价值 | 朱才娣, 黄 冰, 周俊霖等(684) |

介入治疗

| | |
|---------------------------------------------------------|---------------------|
| 下肢深静脉血栓介入治疗局部肝素化并疗效评估 | 李海洋, 马 聪, 肖恩华等(689) |
| Onyx 胶栓塞治疗急性消化道动脉性出血的临床应用 | 邵黎明, 孙成建, 张 伟等(694) |
| ¹²⁵ I 放射性粒子联合支架内植入治疗恶性梗阻性黄疸的疗效性与安全性的 Meta 分析 | 王 龙, 王亚运, 张 勇等(698) |

技术探索

| | |
|---------------------------------------|---------------------|
| 80 kVp 低剂量扫描联合迭代模型重建技术在结肠 CT 造影中的初步应用 | 张 好, 张征宇, 胡春洪等(703) |
| 低 kV 技术在剖宫产瘢痕部位妊娠 CT 检查中应用的可行性探讨 | 陶可伟, 徐玲燕, 李 真等(708) |

实验研究

| | |
|-----------------------------|---------------------|
| 3.0 T MRI 动态增强评估肝纤维化分期的实验研究 | 李坤芳, 廖锦元, 阳鹏飞等(711) |
|-----------------------------|---------------------|

综述

| | |
|---------------------|--------------------|
| 皮肌炎/多发性肌炎的磁共振成像研究进展 | 吴小青, 贾岩龙, 余开湖(716) |
|---------------------|--------------------|

病例报告

| | |
|-------------------------|---------------------|
| 肾黏液样小管状和梭形细胞癌合并多发椎体转移一例 | 林江南, 许茂盛(585) |
| 儿童松果体母细胞瘤一例 | 马 楠, 程敬亮, 张 勇(606) |
| 小脑恶性黑色素瘤伴胸腹部多发转移一例 | 梅 兰, 刁显明, 陈洪亮等(611) |
| 原发性后纵隔血管肉瘤一例 | 库映霞, 郭顺林, 魏柯香(650) |
| 发生于乙状结肠系膜的指突状树突细胞肉瘤一例 | 苏 嵬, 朱建国, 李海歌等(692) |
| 心包海绵状血管瘤影像表现一例 | 韩雪莉, 郭 华(719) |
| 颅内浆细胞瘤一例 | 施豪波, 梁 文, 张向群(720) |
| 左侧颞叶室管膜下瘤一例 | 吕青青, 张 勇, 程敬亮等(722) |
| 胰腺炎性肌纤维母细胞瘤一例 | 牛亚丽, 孙戈新, 王建秋等(723) |

信息窗

| | |
|---------------|-------|
| 《临床放射学杂志》稿约 | (595) |
| 欢迎订阅《临床放射学杂志》 | (683) |
| 书讯、会议通知、简讯 | (688) |

JOURNAL OF CLINICAL RADIOLOGY

A monthly journal devoted to clinical radiology and allied sciences, Established in March 1982, owned and published by publishing house of journal of clinical radiology

Sponsor

Huangshi Institute for Medical Scientific and Technical Information
23 - 22, Hangzhou Road, Huangshi, Hubei 435000, China

Published-cooperate with

Beijing Friendship Hospital, Capital Medical University Peking University Third Hospital

Editing

Editorial Board of Journal of Clinical Radiology
23 - 22, Hangzhou Road, Huangshi, Hubei 435000, China
Tel: (0714) 6222015
Fax: (0714) 6260655

Publishing

Publishing House of Journal of Clinical Radiology
23 - 22, Hangzhou Road, Huangshi, Hubei 435000, China
Tel: (0714) 6222015
Fax: (0714) 6260655
E-mail: lcfssxzbjh@163.com
http://www.lcfssxzz.com

Honorary Editor-in-Chief

FENG Gansheng

Editor-in-Chief

KONG Xiangquan

Standing Deputy Editor

HAN Ping YUAN Deqi

Proprieter

XU Xinqian

Chief Editor

YUAN Deqi

Editor-in chief of the Head and Neck imaging Column

WANG Zhenchang

Editor-in chief of Musculoskeletal Radiology Section

YUAN Huishu

Editor-in chief of Technical Exploration Column

YANG Zhenghan

Typeset

Typesetting department, Publishing House of Journal of Clinical Radiology

Printing

Wuhan Keyuan Printing and Design Co. Ltd

Overseas Distributor

China International Book Trading Corporation
P. O. Box 399, Beijing, China
Code No. M6815

Contents of Original Article

The Small-World Property of Brain Network in Primary Angle-Closure

Glaucoma :A Graph Theory Resting State Functional Network Analysis

LIU Dan, ZHOU Fuping, YOU Tao, et al (556)

Differentiation of Glioblastomas and Brain Metastases : Comparisons

of Diagnostic Performance of the Parameters Derived from

Preoperative DSC-MRI and DCE-MRI

YANG Youyuan, TONG Haipeng, CAO Zhile, et al (562)

CT, MRI Manifestation and Pathological Analysis of Papillary Glioneuronal Tumor

ZHU Jianbin, YU Hao, WANG Xianlong, et al (568)

MR Imaging Features of Clear Cell Meningioma

ZHAO Haiqing, GAO Peiyi (573)

Retention of the Gd-DTPA in the Cystic Area of Brain

Metastases Tumor

QU Shanshan, GAO Peipei, XU Qinyan, et al (578)

Application of the Histogram Analysis in Differentiating Between

Medulloblastoma and Ependymoma

HAN Qiuyue, SU Chunqiu, FENG Piaopiao, et al (582)

MRI Findings of Rare Intrapinal Capillary Hemangioma

LIU Yanan, CHENG Jingliang, XUE Kangkang (587)

The Application of Iodine-Enhanced Image of Dual-Source Computed Tomography Combined with the Level of Thyroid Stimulating Hormone in Distinguishing the Benign and Malignant Thyroid Nodules

JIN Yiren, HAN Dan, ZHAO Wen, et al (591)

The Application Value of Breast Tereotaxic Puncture

in the BI-RADS

ZHANG Xi, HUANG Wukui, ZHAO Yanbo, et al (596)

Histogram Analysis of Apparent Diffusion Coefficient at 3.0 T:

Correlation with Prognostic Factors of Invasive Ductal Carcinoma

LIU Hongli, WEI Han, LOU Jianjuan, et al (600)

Imaging and Pathological Analysis of Primary Pulmonary Mucinous Adenocarcinoma

WANG Zheng, SU Danke, LAI Shaolv, et al (608)

¹⁸F-FDG PET/CT Whole-Body Metabolic Tumor Burden

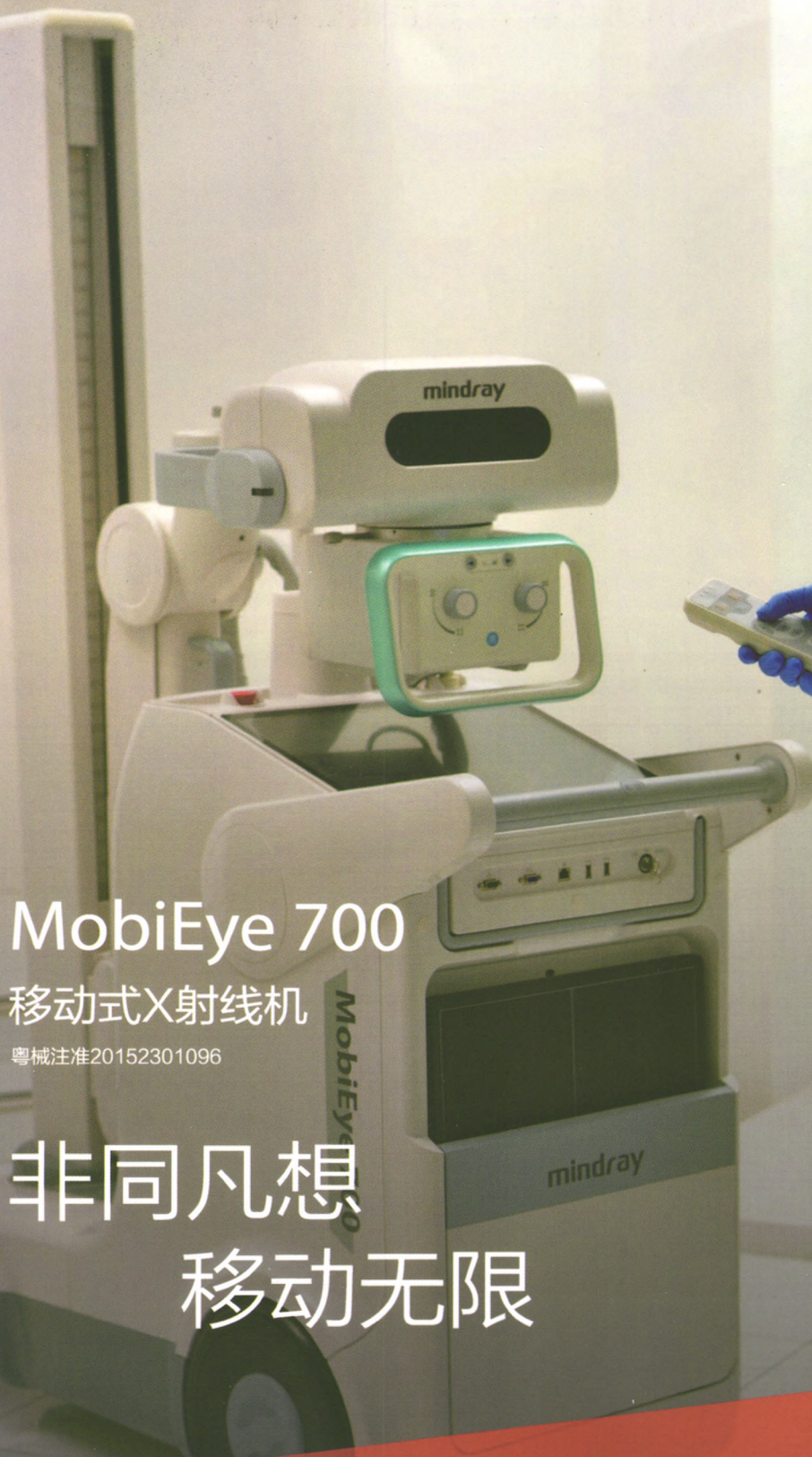
Evaluate the Prognostic Value in Non-Small Cell Lung Cancer

LIN Lili, ZHAI Yanan, ZHANG Hao, et al (614)

| | |
|-------------------------------------------------------------------------------------------------------------------------------------------------------------------------------------|-------|
| Multi-Slice Spiral CT Multiplanar Reconstruction in the Localization of Pulmonary Nodules | (619) |
| FANG Liangyi, ZHONG Wenzhao, HUANG Minmin, et al | |
| Diagnostic and Therapeutic Evaluation Value of CT Imaging for Primary Pulmonary Lymphoepithelioma-Like Carcinoma | (623) |
| ZENG Weishan, HU Yuanming, LIANG Cuishan, et al | |
| Histogram Analysis of Monoexponential DWI and Biexponential IVIM Model for the Differentiation of Prostate Cancer from BPH in the Transition Zone | (627) |
| WANG Ximing, BAO Jie, ZHU Mo, et al | |
| Application Value of the Fractional Kidney Hypoxia for the Assessment of Chronic Kidney Disease | (633) |
| CHEN Yun, CHEN Jie, JIANG Zhenxing, et al | |
| MRI Features of Testicular Neoplasm | (637) |
| WANG Anfei, HU Ying, WANG Xiaoyan, et al | |
| The Diagnostic Value of Prenatal MRI in the Placenta Accreta | (641) |
| JIN Jing, ZOU Liwei, ZHAO Hong, et al | |
| Renal Perfusion and Relevant Function Evaluation in Healthy Donors and Patients with Renal Tumors: A Multi-Inversion-Time Arterial Spin-Labeling Imaging Study | (645) |
| GUO Wenbin, SHI Hao, ZHENG Yingxin, et al | |
| The Diagnostic Value of T_1 Mapping in Gd-EOB-DTPA-Enhanced MRI for the Assessment of Liver Function | (652) |
| ZHANG Xueqin, LU Jian, ZHANG Tao, et al | |
| MR Imaging Features of Solid Pseudopapillary Neoplasm of Pancreas in Male Patients | (656) |
| ZHANG Yongsheng, YE Yufeng, TANG Kanhua | |
| A Preliminary Application of Energy Spectrum CT on Diagnosing Hepatocellular Carcinoma with Low Concentration Contrast Medium | (660) |
| ZHENG Yingxin, LI Wei, SHI Hao, et al | |
| Clinical Value of Dynamic Contrast-Enhanced MRI and Diffusion Weighted Imaging in Evaluating the Malignant Degree of Osteosarcoma | (666) |
| LI Ying, REN Cuiping, CHENG Jingliang, et al | |
| Comparison of CT and MRI Features and Histologic Appearances in Spinal Epidural Angiolipomas | (670) |
| WANG Guanxi, YE Baoqing, YANG Zhitao, et al | |
| Diagnostic Value of CT-Guided Biopsy for Malignant and Benign Lesion of Spine: A Meta-Analysis | (674) |
| WANG Lang, LIU Chuan, JIANG Xiaofeng, et al | |
| Quantitative Measurement of Cerebral Blood Flow in Preterm by Multiple Inversion Time Arterial Spin Labeling Magnetic Resonance Imaging | (678) |
| WANG Hong, XU Jianming, QIN Mingming, et al | |
| Diagnostic Value of Fistulas Detected by MRI Distal Colostogram in Patients with the Congenital Anorectal Malformation After Colostomy | (684) |
| ZHU Caidi, HUANG Bing, ZHOU Junlin, et al | |
| Locoregional Heparinization for Patients with Deep Venous Thrombosis: Safety and Efficacy Evaluation | (689) |
| LI Haiyang, MA Cong, XIAO Enhua, et al | |
| Transcatheter Artery Embolization with Onyx for Acute Gastrointestinal Arterial Hemorrhage | (694) |
| SHAO Liming, SUN Chengjian, ZHANG Wei, et al | |
| Efficacy and Safety of the Treatment of ^{125}I Seeds Combined with Stent Implantation for Patients with Malignant Obstructive Jaundice: A Meta-Analysis | (698) |
| WANG Long, WANG Yayun, ZHANG Yong, et al | |
| Preliminary Application of Computed Tomography Colonography with 80 kVp Low Dose Using Knowledge-Based Iterative Reconstruction Algorithm | (703) |
| ZHANG Yu, ZHANG Zhengyu, HU Chunhong, et al | |
| Investigation on the Feasibility of Low-kV Imaging for CT Examination of Cesarean Scar Pregnancy | (708) |
| TAO Kewei, XUE Lingyan, LI Zhen, et al | |
| Evaluation of Staging of Hepatic Fibrosis by 3.0 T DCE-MRI-An Experimental Study | (711) |
| LI Kunfang, LIAO Jinyuan, YANG Tengfei, et al | |

mindray 迈瑞

25
周年
1991-2016
迈瑞·医心一意



MobiEye 700

移动式X射线机

粤械注准20152301096

非同凡想
移动无限

粤医械广审(文)第2016040103号

禁忌内容或注意事项详见说明书。

万方数据

国内统一刊号：ISSN 1001-9324 邮发代号：38-57 定价：15.00元
CN42-1187/R